

TECHNIKA CIEPLNA

ORGAN STOWARZYSZEŃ DOZORU KOTŁÓW W POLSCE.

Redaktor: Inż. techn. JAN KOMARNICKI.

Wydawca: Stowarzyszenia Dozoru Kotłów w Polsce.

TREŚĆ: I. Gruszczyński, inż. Przywóz zagranicznych kotłów parowych i silników. PRZEGLĄD KSIĄŻEK: Wykłady z zakresu kotłów parowych (inż. I. Dąbrowski). — Prof. I. Feszczenko-Czopiński. Jaką powinna być obróbka termiczna blach kotłowych? BIBLIOGRAFJA.

SOMMAIRE: I. Gruszczyński, ing. L'import des chaudières et des moteurs. — NOUVEAUX LIVRES: Referats concernant les chaudières à vapeur (ing. I. Dąbrowski. — Prof. I. Feszczenko-Czopiński. Du traitement thermique des tôles des chaudières. — BIBLIOGRAPHIE.

IGNACY GRUSZCZYŃSKI, Inżynier

PRYWÓZ ZAGRANICZNYCH KOTŁÓW PAROWYCH i SILNIKÓW.

Z wydawnictwa „Handel Zagraniczny Rzeczypospolitej Polskiej“ notujemy szereg liczb, ilustrujących przywóz do Polski kotłów parowych i ich części, w kwintalach (100 kg) za okres czasu od 1922 do 1925 roku:

	Rok 1925	1924	1923	1922
Kotły parowe i ich części	22372	20999	13351	19685

Statystyka za okres 1924—1925 daje możność zróżniczkowania tych pozycji:

	1925		1924	
	kwint.	tys. zł.	kwint.	tys. zł.
Kotły nierurkowe i bez przegrzewaczy	2624	191	1154	70
Kotły wodnorurkowe	7589	488	8100	451
Przegrzewacze parowe	619	44	925	65
Ekonomizery kompletne	1564	117	2423	103
Ruszt mechaniczne	1346	80	2853	123
Części aparatów i kotłów oddzielnie niewymienione	8630	717	5534	501
Razem	22372	1637	20999	1313

Wobec tego, że fabryki budowy kotłów mogą całkowicie pokryć zapotrzebowanie kraju i zaspokoić najdalej idące wymagania odbiorców, przywóz ten tłumaczy się warunkami kredytowymi, jakich nasze zakłady nie są w stanie udzielić. Poza tem rozwijać się zaczyna szkodziła z gospodarczego punktu widzenia kraju budowa, a raczej montowanie kotłów, z części, sprowadzonych z zagranicy, które mogą być wytwarzane w kraju. Niskie cło na części kotłowe, obniżone w swej wartości do połowy wskutek spadku złotego, umożliwia tego rodzaju fabrykację. Zainteresowane fabryki powinny przedsięwziąć starania u władz, by te wyzyskały w pełni istniejące zakazy przywozu, względnie ograniczyły kontyngenty przywozowe, gdyż kotły parowe i ich części clone wg. poz. 152taryfy celnej, znajdują się na liście

towarów, objętych zakazem przywozu. Następnym środkiem zatamowania przywozu byłaby waloryzacja cel, o które sfery przemysłowe powinny zabiegać.

Poważnie przedstawia się przywóz maszyn parowych, lokomobil, turbin parowych oraz traktorów, jak to ilustruje załączona poniżej tabelka.

	1925		1924	
	kwint.	tys. zł.	kwint.	tys. zł.
Maszyny parowe	1474	233	4520	548
Lokomobile par. stałe	5823	827	7701	1197
„ „ przewoźne	1487	250	3925	624
Turbiny parowe	4877	1195	3880	708
Traktory parowe	3416	450	1200	193

Podkreślamy tutaj wysoki w 1925 roku przywóz lokomobil parowych różnych typów i mocy o wartości zł. 1077000, który zmniejszył się w porównaniu do roku 1924 z kwoty zł. 1821000 dzięki skasowaniu ulg celnych w drugiej połowie roku ubiegłego na skutek wojny celnej z Niemcami oraz dzięki spadkowi naszej waluty.

Ogólna ilość lokomobil typu przemysłowego, sprowadzonych z zagranicy w 1924 r., wyniosła 80 sztuk o mocy ogólnej ok. 6.000 KM, obliczonej na podstawie wydanych przez Ministerstwo Przemysłu i Handlu zaświadczeń, uprawniających do ulg celnych.

Wysoki przywóz lokomobil przemysłowych potwierdza tezę, że produkcja lokomobil o mocy od 30 do 120 KM w kraju, ze względu na znaczne zapotrzebowanie rynku, ma duże widoki powodzenia, o ile skoncentruje się na jednym typie i na kilku wielkościach i nie zostanie rozproszkowana przez przystąpienie do ich budowy kilku wytwórni jednocześnie, uniemożliwiając masową fabrykację, a więc i przystępną cenę. Budowa lokomobil powinna być podjęta celem dodatkowego zatrudnienia zakładów przemysłowych, budujących kotły parowe, w drodze wzajemnego porozumienia się i uzgodnienia programów fabrykacyjnych.

Dla całości obrazu przytaczamy liczby, ilustrujące przywóz silników spalinowych oraz traktorów, podkreślając znaczny wzrost przywozu traktorów w 1925 r. świadczący o znacznym ich zapotrzebowaniu, co należałoby wyzyskać przez podjęcie tego działu wytwórczości. Przywóz silników spalinowych, wysokoprężnych (Diesela) w r. 1925 w porównaniu do r. 1924 zmniejszył się ze zł. 2.268.000 na zł. 1.500.000. Tłómaczy się to wzmaganiami produkcji tych silników w wytwórniach krajowych, jak: Sp. Akc. Budowy Silników Spalinowych syst. prof. Ebermana, Sp. Akc. „Ursus” oraz Stocznia Gdańska.

	1925		1924	
	kwint.	tys. zł.	kwint.	tys. zł.
Silniki spalinowe wysoko- prężne (Diesela)	7625	1500	11695	2368
Silniki spalinowe wysoko- prężne—inne	7717	1507	2930	592
Lokomobile spalinowe stałe	1005	152	671	111
Lokomobile spalinowe prze- wożne	—	—	429	68
Traktory spalinowe	2713	725	680	151

Niepokojącym objawem jest przywóz silników spalinowych (poza Dieslami), wynoszący w r. 1925 zł. 1.507.000. Wysoki przywóz spowodowany został niedostateczną ochroną celną, uszczuploną wskutek

spadku naszej waluty, warunków kredytowych i t. p. Przyczyny te powinny być przez zainteresowane zakłady gruntownie zbadane, by przedsięwziąć odpowiednie środki zaradcze, gdyż ta gałąź przemysłu, jako eksportowa, przeżywa kryzys ze względu na skurczenie się własnego rynku. Dane statystyczne, zbierane przez urzędy celne, mogłyby oddać duże korzyści przemysłowi, gdyby więcej były sprecyzowane i zróżniczkowane. Sprawa ta może być jednak pomyślnie rozwiązana dopiero po wydaniu nowej taryfy celnej, nad którą prace już rozpoczęto.

Autor porusza nadzwyczaj ważną sprawę podniesienia wytwórczości naszego przetwórczego przemysłu metalowego, a główną przyczynę sprowadzania z zagranicy wielkiej liczby urządzeń silnikowych upatruje w warunkach kredytowych, jakie daje zagranica, oraz w nieodpowiedniej ochronie celnej. Z licznych głosów, które nas dochodzą, jest jeszcze jedna przyczyna, bodaj czy nie najważniejsza, mianowicie niewłaściwe traktowanie odbiorców przez niektóre wytwórnie polskie, naprz. na oferty trzeba czekać bardzo długo, często kilkakrotnie o nie prosić: po oddaniu oferty następuje często znaczna podwyżka ceny,—brak dotrzymania terminu dostawy,—zbyt powolne usuwanie wad, które okazały się po uruchomieniu i t. p. Wszystko to zachodzi przeważnie skutkiem niedoceniania przez przemysł polski współpracy inżyniera-mechanika i ciężej oszczędzania w wydatkach na takich inżynierów. Przy tej sposobności przypominamy, że maszynowy przemysł niemiecki w latach 1908—1912 zdobywał wielkie dostawy dla Transwaalu w wielkiej mierze dzięki temu, że posiadając odpowiednie siły techniczne, składał oferty w znacznie krótszym czasie, niż przemysł angielski. (przyp. Red.).

PRZEGLĄD KSIĄŻEK.

WYKŁADY Z ZAKRESU KOTŁÓW PAROWYCH (Str. 134. Tabl. XVI)

Nakładem Stowarzyszenia Dozoru Kotłów w Warszawie ukazała się świeżo w druku książka pod powyższym tytułem, która stanowi zbiór szeregu aktualnych referatów, wygłoszonych na III Kursie, urządzonym przez Wydział Mechaniczny Politechniki Lwowskiej od 16 do 19 marca r. b.

Na treść książki składa się 8 bogato ilustrowanych referatów żywo w danej chwili obchodzących wszystkich techników, mających styczność z kotłami parowymi.

Prof. St. Anczyc ze Lwowa w referacie p. t. „O blachach kotłowych” zwięźle i celowo omawia wyrób blach kotłowych i wady ich stąd pochodzące, budowę mikroskopową materiałów kotłowych i jej znaczenie, wpływ wysokich temperatur na materiały kotłowe, oraz wpływ obróbki stosowanej na zimno w czasie wyrobu i ruchu kotła.

Prof. I. Feszczenko-Czopiński z Krakowa traktuje „O ulepszeniu miejsc spawanych etekrycznie drogą obróbki termicznej”. Temat ten należy do najbardziej aktualnych w chwili obecnej, szczególnie w patologii kotłów parowych, gdyż pozwala na szybki remont kotła, oszczędzenie materiału, czasu i robocizny.

Inż. Tadeusz Gayczak ze Lwowa w referacie p. t. „Elektryczne spawanie łukowe w zastosowaniu do naprawy i budowy kotłów parowych” dochodzi do wniosku, że „posiadamy już wypróbowane metody spawania, mamy dobre spawalnice i odpowiednie elektrody, posiadamy również praktyczne wyniki, usprawiedliwiające zainteresowanie się tą metodą, która przyspiesza budowę i naprawę kotłów i czyni ją tańszą, a w pewnych warunkach nawet trwalszą i pewniejszą, tylko brak nam przepisów, normujących stosowanie tej metody i brak wyszkolonych spawaczy”.

W referacie p. t. „Teoria działania połączeń nitowych” prof. Edwin Hauswald ze Lwowa przedstawia nowy sposób obliczenia połączeń nitowych dla kotłów i t. p., ze względu na doświadczalnie stwierdzoną niezgodność dawnego sposobu z rzeczywistością wytrzymałością połączeń tego rodzaju i dochodzi do wniosku, że możliwe jest silniejsze niż dotąd, obciążenie prawidłowo wykonanych połączeń nitowych, oraz uzasadnia potrzebę wprowadzenia pewnych zmian w przepisach, odnoszących się do obliczania grubości blach, i granicy obciążeń dopuszczalnych nitów.

Interesująca techników cieplnych kwestja regeneracji ciepła została w sposób krótki i rzeczowy ujęta w referacie prof. Tadeusza Fiedlera ze Lwowa. Zastąpiony dla techniki polskiej autor mówi o aktualnych „pompach cieplnych” (sprężarkach

oparowych), o regeneracji ciepła w maszynach parowych w zastosowaniu do palenisk i przez poduszanie paliwa wilgotnego, oraz o ujemnych następstwach wysokich temperatur spalania. W końcu wspomina o doniosłej kwestji „kaloryzacji” części rusztów żeliwnych przez wytworzenie na ich powierzchni cienkiej warstewki glinu (aluminium), zabezpieczającej ruszt od szybkiego zużycia.

Dr. inż. Tadeusz Niemczynowski ze Lwowa w referacie swym pod tyt. „Ruch ciepła w kotłach” omawia kwestję możliwego zwiększenia wydajności kotła i ustala wytyczne budowy kotłów o wysokiej wydajności według wymagań racjonalnego wyzyskania ruchu ciepła.

Obszerny referat prof. Romana Witkiewicza ze Lwowa p. t. „Elastyczność kotła a cieplarki (akumulator pary)” porusza bardzo aktualny wśród techników cieplnych całego świata temat, lecz niestety, w literaturze technicznej polskiej mało dotychczas wyzyskany. Temat poruszony przez prof. Witkiewicza przedstawiony jest w sposób rzeczowy i krytyczny i nie wątpię, że znajdzie żywy oddźwięk w umysłach polskich techników, zajmujących się kwestją ciepła, mimo, iż prof. Witkiewiczowi nasuwają się smutne refleksje, „czy przeciętny inżynier ruchu ma czas na pomiary we własnym zakładzie przemysłowym, celem zebrania materiału do projektowania nowych postępowych rozwiązań, np. cieplarki (akumulator pary), — czy wogóle ma czas na zapoznanie się z odnośną literaturą?”

W ostatnim referacie p. t. „Organizacja energetycznej akcji w Polsce” inż. W. Rosental z Warszawy omawia kwestję organizacji akcji energetycznej w Polsce i zagranicą i przytacza projekt rozporządzenia Rady Ministrów o utworzeniu Polskiego Komitetu Energetycznego.

W końcu książki znajduje się 15 tablic, zdjęć fotograficznych do artykułu prof. St. Anczyca „O blachach kotłowych” i referatu prof. I. Feszczenko-Czopińskiego „O ulepszeniu miejsc spawanych elektrycznie drogą obróbki termicznej”.

Tematy poruszone w omawianej książce znacznie przekraczają ramy zakresu jej przez skromny nagłówek p. t. „Wykłady z zakresu kotłów parowych”.

Słusznie w przedmowie piszą członkowie komisji organizacyjnej III Kursu pp. Prof. Tadeusz Fiedler i Roman Witkiewicz, że referaty przekraczają znacznie normalny poziom szkolny kursów inżynierskich, a niejednokrotnie mają charakter samodzielnych rozpraw, głęboko ujmujących omawiane zagadnienia.

Książka omawiana zasługuje ze wszelkich miar na b. szerokie rozpowszechnienie wśród wszystkich techników interesujących się techniką kotłową i cieplną.

Inż. Ignacy Dąbrowski.

JAKĄ POWINNA BYĆ OBRÓBKĄ TERMICZNĄ MATERJAŁU BLACH KOTŁOWYCH?

por. „Technika Ciepła” 1926, str. 97.

§ 27. Blachy kotłowe są wyrabiane z żelaza miękkiego o wytrzymałości około 35 — 40 kg/mm² i wydłużeniu 30 — 27%. Materiał musi być możliwie czysty (§ 2). Skład chemiczny materiału odpowiadającego takim właściwościom mechanicznym byłby następujący: C = 0,10 — 0,12%; Si = 0,05%; Mn = 0,4 do 0,5%; P = 0,04%; S = 0,04,%. Zwykle przepisy wspominają prócz tego o konieczności badania materiału blach kotłowych na zginanie po zahartowaniu i na zdolność do kucia bez powstawania szczeliny. Nie wspominają one jednak o żadnej obróbce termicznej i rzadka jedynie słychać głosy, domagające się wyżarzania materiału kotła już po ukończeniu mechanicznej obróbki tegoż*). Poprzednie jednak dzieje pochodzenia materiału pozostawiają nie dające się zniszczyć ślady, a właściwości mechaniczne jednego i tego samego materiału mogą się silnie zmieniać w zależ-

ności od tych termicznych operacji, których poprzednio na nim dokonano. Tak na przykład w tablicy 1 przytoczono właściwości mechaniczne materiału blachy kotłowej № 5 w zależności od poprzedniej obróbki termicznej. Porównując dane tej tablicy z danymi następnej tablicy kruchości (patrz tabl. 2) możemy stwierdzić, że granica plastyczności (Q) jednego i tego samego materiału waha się od 21,8 do 34,8 kg/mm² (wahanie do 60%) w zależności od jego poprzedniej obróbki termicznej, wytrzymałość (R) zmienia się w granicach, od 33,0 do 43,6 kg/mm² (wahanie do 32%), wydłużenie (A) od 17% do 34,8% (wahanie do 100%), przewężanie (C) od 65% do 73% (wahanie do 15%), twardość (H) od 99 do 149,5% (wahanie do 50%) i odporność na uderzenie (U) od 2,5 do 14,6 kgm/cm² (wahanie do 480%**) . Stąd wynika, że zagadnienie o obróbce termicznej blach kotłowych, uży-

TABLICA I

Zmiany właściwości mechanicznych materiału blachy kotłowej № 5 w zależności od poprzedniej obróbki termicznej.

Blacha Nr. 5.

Obróbka materiału blachy kotłowej		Q	R	A	C	H	U
1	Próby w stanie surowym	23,8	36,2	27,7	65,5	115,5	8,3
2		23,8	36,8	30,0	65,0		
3	Próby po wyżarzeniu w ciągu 2 godz. przy 920° i po powolnym ochłodzeniu	21,8	33,7	34,8	65,4	103,5	6,9
4	razem z piecem	24,0	33,0	30,3	65,4		
5	700° { z następującym ochłodzeniem	30,7	43,0	17,7	69,0	130,5	13,3
6	„ { w wodzie (+ 18°)	30,3	41,7	17,0	69,0		
7	700° hartow. w wo- { przy	25,2	38,5	21,5	71,0	111	14,2
8	„ { dzie (+ 18°) 400° { z następującym powolnym	26,6	39,0	20,0	70,0		
9	700° { i ponownie { przy ochładzaniem w piecu	22,1	37,5	23,5	70,0	115,5	13,5
10	„ { odpuszczone 300°	23,0	37,5	23,0	72,5		
11	700° { z następującym ochładzaniem na powietrzu	25,6	37,4	26,2	68,0	126	13,6
12	„ {	24,9	36,2	23,8	69,0		
13	wodzie (+ 18°) 650° { w piecu	30,4	39,0	28,8	72,7	111	12,4
14	„ {	30,8	38,8	25,4	72,2		
15	650° { z następującym chłodz. { na powietrzu	26,4	39,4	28,4	73,0	130	12,6
16	„ {	30,8	39,2	28,8	72,2		
17	650° { w wodzie (+ 18°)	30,6	43,6	23,8	70,2	126	12,6
18	„ {	30,4	43,5	21,2	70,5		
19	650° { ochłodzone w wodzie i ponownie odpuszczone przy	26,8	39,1	28,4	71,3	120	13,0
20	„ { 400° z następującym ochłodzeniem w piecu	26,9	39,0	25,0	72,0		
21	700° { z następującym ochłodzeniem w piecu	27,2	37,4	34,6	73,0	115,5	12,9
22	„ {	26,4	37,3	29,2	72,0		
23	oleju (+ 18°) 700° { ochłodzone w oleju i ponownie odpuszczone przy	27,4	37,3	29,2	73,0	115,5	14,6
24	„ { 400° z następującym ochłodzeniem w piecu	28,0	37,8	28,8	72,0		

*) Prof. E. Chromiński — O potrzebie wyżarzania ścian kotłów parowych. — *Technika Ciepła* 1925, str. 102 — 103.

**) Porównaj „o badaniach kruchości”, § 26,

TABLICA 2.

Zmiany kruchości materiału blachy kotłowej № 5 w zależności od temperatury badania i poprzedniej obróbki termicznej; kgm/cm².

Szybkość stygnięcia w °C/sek.	W stanie surowym	W stanie wyżarzonym w ciągu 2 godz. przy 920° a następnie studzony:			Rekrystalizowany w ciągu	
		powolnie w piecu	na powietrzu	W wodzie (+ 18°)	10 godz. przy 800°	24 godz. przy 700°
					następnie powolnie studzony w piecu	
H.	?	0,04°	0,5°	30°	0,04°	0,038°
U:						
— 15	2,3 } 2,3 z. 2,3 } „	2,1 } 2,5 z. 2,8 } „	3,4 } 3,2 z. 2,9 } „	6,4 } 6,4 z. 6,4 } „	1,4 } 1,7 z. 2,0 } „	4,0 } 3,9 z. 3,8 } „
0	6,3 } 5,7 „ 5,1 } „	3,6 } 4,3 „ 5,0 } „	7,3 } 7,3 „ 7,4 } „	7,5 } 7,1 „ 6,8 } „	4,3 } 4,9 „ 5,4 } „	6,9 } 6,9 „ 7,0 } „
+ 18	9,3 } 8,3 n. z. 7,3 } z.	6,6 } 6,9 „ 7,2 } „	9,6 } 9,2 n. z. 8,7 } z.	9,6 } 9,6 „ 9,7 } „	6,2 } 7,5 „ 8,8 } „	12,2 } 10,4 n. z. 8,5 } z.
+100	12,5 } 11,9 n. z. 11,4 } „	11,8 } 12,2 n. z. 12,7 } „	11,5 } 11,9 n. z. 12,3 } „	12,6 } 11,3 n. z. 10,0 } „	11,5 } 11,5 n. z. 11,5 } „	10,7 } 12,4 z. 14,1 } n. z.
+150	12,1 } 12,0 „ 11,9 } „	13,5 } 12,0 „ 10,6 } „	10,4 } 10,3 „ 10,2 } „	9,6 } 10,4 „ 11,2 } „	10,6 } 10,6 z. (17,2) } n. z.	10,7 } 10,8 z. 10,8 } n. z.
+200	10,4 } 10,5 „ 10,5 } „	10,5 } 10,4 „ 10,3 } „	9,0 } 10,4 „ 11,9 } „	9,3 } 9,6 „ 9,9 } „	10,2 } 10,4 z. 10,6 } z.	10,9 } 12,0 z. 13,1 } n. z.

Szybkość stygnięcia w °C/sek.	Rekrystalizowany w ciągu			Przegrzewany w ciągu		
	50 godz. przy 600°	75 godz. przy 500°	150 godz. przy 420°	2 godz. przy 1200°	4 godz. przy 1100°	8 godz. przy 1000°
	następnie powolnie studzony w piecu do + 18°.					
H.	0,035	0,032	0,03	0,04	0,04	0,04
U:						
— 15	5,7 } 4,9 z. 4,2 } „	6,3 } 5,4 z. 4,5 } „	6,4 } 5,8 z. 5,1 } „	1,5 } 1,4 z. 1,3 } „	2,7 } 2,4 z. 2,1 } „	2,0 } 2,5 z. 3,0 } „
0	7,9 } 7,9 „ ? } „	9,3 } 9,3 „ 9,4 } „	4,0 } 4,0 „ (3,2) } „	1,7 } 1,6 „ 1,6 } „	2,4 } 2,4 „ ? } „	2,6 } 2,6 „ ? } „
+ 18	12,7 } 10,7 n. z. 8,6 } z.	10,2 } 10,6 „ 11,0 } n. z.	15,4 } 15,5 n. z. 15,7 } „	2,4 } 2,5 „ 2,6 } „	7,3 } 7,3 „ 7,2 } „	7,9 } 7,8 „ 7,8 } „
+100	11,3 } 11,9 n. z. 12,5 } „	11,8 } 11,8 „ 11,7 } „	14,8 } 13,9 „ 12,9 } „	7,5 } 7,7 „ 7,8 } „	13,5 } 11,5 n. z. 9,6 } z.	14,6 } 12,8 n. z. 10,9 } z.
+150	12,1 } 11,4 „ 10,7 } z.	12,6 } 12,1 „ 11,6 } „	12,7 } 12,7 „ (10,1) } z.	10,4 } 10,0 „ 9,6 } „	10,6 } 11,3 „ 11,9 } n. z.	10,6 } 12,6 „ 14,5 } n. z.
+200	11,8 } 10,8 n. z. 9,8 } z.	9,9 } 9,9 z. 9,8 } z.	10,4 } 11,8 „ 13,2 } n. z.	10,7 } 11,1 „ 11,5 } n. z.	10,5 } 10,5 z. 10,4 } „	10,7 } 10,4 „ 10,0 } z.

wanych do przygotowania tak odpowiedzialnych wytworów, jakimi są kotły parowe, nie jest zagadnieniem, które możnaby lekceważyć.

W § 26 wyjaśniliśmy konieczność badań zmian kruchości materiału w zakresie temperatur od —20° do 200° t. j. przez ustalenie rzeczywistego położenia krzywej zmiany ciągliwości wraz z temperaturą, a w tablicy 2 podajemy zmiany ciągliwości (kruchości) materiału blachy kotłowej № 5 w zależności od temperatury badania i poprzedniej obróbki termicznej.

Jeśli otrzymane przy tem dane wprowadzimy na wykresy, to charakter krzywych będzie analogiczny do krzywych przedstawionych na rys. 9.

Porównyując umieszczone w tablicy 2 wyniki i opierając się na wskazaniach § 14-go dochodzimy do wniosku, że nawet przegrzany metal w temperaturach około 100° i nieco wyższych jest dostatecznie ciągliwy i że kruchość materiałów źle obrobionych przypada głównie na temperatury zwyczajne i nieco niższe. Jest to zjawisko tak zwanej kruchości na zimno,

TABLICA 3.
Analiza chemiczna materiału blach kotłowych*).

	C	Si	Mn	P	S
Blacha № 1, żelazo pudlarskie	0,053	0,179	0,124	0,562	0,046
„ № 5, „ zlewne	0,095	0,012	0,430	0,080	0,041
„ № 6, „ „	0,099	0,051	0,485	0,028	0,041
„ № 7, „ „	0,085	0,044	0,409	0,026	0,025
„ № 8, „ „	0,070	0,030	0,530	0,080	0,040
„ № 9, „ „	0,090	0,012	0,590	0,057	0,026

*) Analizy wykonał p. Docent inż. W. Łosiewicz, Adjunkt Zakładu Metalografii Akademii Górniczej w Krakowie.

TABLICA 4.
Porównawcze wyniki analizy mechanicznej blach kotłowych.

Blacha №	1*)	5**)	6	7***)	8	9
Granica plastyczności kg/mm ² (Q)	—	23,8	24,3	25,9	25,7	22,4
Wytrzymałość kg/mm ² (R)	25,6	36,5	37,1	31,6	38,7	35,7
Wydłużenie w % (A)	4,8	28,8	32,0	14,0(?)	29,0	27,0
Przewężenie w % (C)	—	65,2	59,0	?	62,0	61,0
Odporność na uderzenia kgm/cm ² (U)	w stanie surowym przy —15	2,1	2,3	3,2	1,5	2,0
	0	2,3	5,7	9,1	1,8	4,6
	+18	1,8	8,3	11,1	10,1	7,3
	+100	2,3	11,9	12,7	13,8	11,5
	+150	2,6	12,0	10,4	13,1	12,3
	+200	2,6	10,5	9,9	11,9	11,7
— „ — w stanie wyżarzonym	—15	2,1	2,5	2,7	2,6	2,9
	0	2,2	4,3	3,4	5,6	5,1
	+18	2,5	6,9	7,4	10,3	8,1
	+100	3,0	12,2	10,2	14,8	12,7
	+150	3,2	12,0	10,2	15,2	14,0
	+200	3,4	10,4	10,2	14,9	12,3
— „ — w stanie ulepszonym	—15	2,4	11,8	12,6	14,1	16,5
	0	2,5	12,5	13,2	15,4	14,9
	+18	2,5	14,6	14,0	15,1	17,9
	+100	3,5	15,0	14,0	17,0	15,3
	+150	4,2	13,9	14,8	16,5	14,3
	+200	4,3	11,2	13,6	15,6	13,7

U w a g i: *) Blacha № 1 wyrobu pudlarskiego.

**) Blacha № 5 silnie zanieczyszczona żuźłami.

***) Blacha № 7 była silnie popękana a z tego powodu własności mechaniczne określone, znajdują się poniżej ich prawdziwej wielkości.

a zakres tej kruchości nie jest stałym dla danego materiału lecz przesuwają się to w prawo to w lewo w zależności od stanu fizycznego metalu, t. j. głównie od jego poprzedniej obróbki termicznej. Położenie tego zakresu jak to jasnowynika z danych umieszczonych w tablicy 2, zależy głównie: 1) od najwyższej temperatury w której materiał przebywał podczas obróbki termicznej, 2) od czasu przebywania w tej wysokiej temperaturze i 3) od szybkości jego studzenia. Znając przebieg krzywej zmiany kruchości w zależności od temperatury i twardości materiału poddanego przedtem jakiejś nieznanej

obróbce termicznej (stan surowy) możemy z wystarczającą dokładnością określić charakter nieznanej obróbki termicznej i szybkość stygnięcia materiału surowego jak to wynika z podanej zależności zmian kruchości od temperatury, zestawionej w tablicy 2. Te dwie najprostsze i najtańsze metody badań mechanicznych: 1) określenie twardości i 2) zmiany ciągliwości w kruchym zakresie niskich temperatur od —20° do +200° mogą i powinny być stosowane w wszelkich wypadkach kontroli materiału blach kotłowych równolegle ze sprawdzaniem ich przez analizę metalograficzną. W spornych

i wątpliwych wypadkach należy szukać dodatkowych danych dla ustalenia ostatecznego wniosku o fizycznym stanie danego materiału w wynikach wszędzie używanych prób na rozerwanie i w analizie chemicznej.

§ 28. Budowa metalu wyraża jego wewnętrzną istotę. Badając budowę danego materiału metalicznego zgóry określamy wiele z jego właściwości. Ponieważ, jak wiadomo, wszelkim zmianom właściwości danego materiału towarzyszą zmiany budowy, tem samem określa się zachowanie się materiału podczas jego służby.

W dalszym ciągu będziemy mieli do czynienia z pewnemi gatunkami blach kotłowych, które w podziale naszym posiadają numery, a wyniki analizy chemicznej i mechanicznej materiału tych blach umieszczono w tablicach 3 i 4. Budowa tych materiałów w stanie zwykłym składa się z dwóch składników metalograficznych: ferrytu—jest to prawie czyste żelazo, ściślej roztwór stały graniczny z 0,05 węgla w α —żelazie i 2) perlitu — jest to eutektoid, zawierający 0,85% węgla i przedstawiający bardzo ścisłą mieszaninę mechaniczną warstewek ferrytu i cementytu (związku chemicznego Fe_3C). Ferryt stanowi główną masę w materiale blach kotłowych i wypełnia zwykle około 90 — 94% całego materiału blachy kotłowej, podczas gdy dla perlitu w stanie normalnym pozostaje tylko 6—10%. W tem sposób budowa materiału zwykłej blachy kotłowej składa się z ziaren ferrytu, pomiędzy którymi wciśnięte są nieznaczne skupienia eutektoidu — perlitu. Taką zwykłą budowę przedstawiają mikrofotografie 36 (pow. 65) i 39 (pow. 360)*.

Mikrofotografie 26, 27, 28 (pow. 60)* przedstawiają budowę materiału blachy Nr. 1. Blacha ta jak i wszystkie następne wzięta jest z do niedawna jeszcze czynnego dość starego kotła parowego. Materiał blachy stanowi żelazo pudlarskie. Rysunek 26 i 27* przedstawiają budowę wzdłuż włókien, a rys. 28*) w poprzek włókien. Widzimy tutaj wielką ilość żuźlowych wtrąceń, niektóre z nich dochodzą do znacznych rozmiarów. Jasnem się staje, że mechaniczne właściwości takiego silnie zanieczyszczonego materiału są bardzo niskie (por. tablicę 4).

Mikrofotografie rys. 29* (pow. 60) i rys. 30* (pow. 180) przedstawiają budowę materiału blachy Nr. 5. Budowa ta przypomina bardzo budowę żelaza pudlarskiego, patrz rys. 27 i 28* brak jedynie długich i wielkich wtrąceń żuźlowych. Metal ten jest bez wątpienia pochodzenia martenowskiego, jednak źle był przed spustem odtleniony i dlatego znajduje się w nim wielka ilość drobnych kropelek żuźlowych, wtłoczonych w większości wypadków bezpośrednio w ziarna ferrytu. W materiale tym spotkać można i większe żuźle wyciągnięte w kierunku walcowania. Rys. 31* (pow. 60) przedstawia budowę materiału blachy Nr. 7 i tworzy podobny obrazek: jeden większy żuźel wyciągnięty w kierunku walcowania. Kierunek walcowania oznacza kierunek warstwowości. W zależności od ilości żużli i od ich rozłożenia w poprzecznym przekroju materiału warstwowość taka może być ścisłą i może zachowywać wyraźną kierunkowość po przez całą grubość blachy, jak to widać na rys. 31, albo w postaci jednej szerokiej lub kilku niezależnych od siebie warstewek (ferrytowych), wypełnionych drobnymi wtrąceniami żuźłowymi patrz rys. 32*, pow. 65, materiał blachy Nr. 9. Te kruche wtrącenia żuźlowe bywają cza-

sami tak szerokie, że wyłamują się podczas mechanicznej obróbki, stosowanej przy przygotowywaniu szlifu i tworzą przy tem luki (patrz rys. 33*, pow. 65 — materiał blachy Nr. 9). Rozprzestrzenianie się szczeliny wgłęb metalu jest ułatwione wzdłuż takich kruchych wtrąceń żuźlowych. Rys. 34* (pow. 65) przedstawia podobny wypadek, w którym pęknięcie, utworzone na wewnętrznej stronie dennicy kotła Garbe rozchodząc się wgłęb metalu drogą okrężną przechodzi na kruchy gruby i długi żuźel. W uzupełnieniu przykładów podanych w § 23 należy jeszcze raz podkreślić, że wszelkiego rodzaju pęknięcia, zachodzące w materiale blach kotłowych pod działaniem zewnętrznych sił odkształcających, zjawiają się najłatwiej w silnie zanieczyszczonym przez żuźle materiale. Zobrazowanie tego daje rys. 35* (pow. 65), gdzie pęknięcie rozprzestrzenia się od wewnętrznej powierzchni wgłęb metalu poprzez ziarna wypełnione znaczną ilością drobnych wtrąceń żuźlowych. Te kruche wtrącenia żuźlowe przeciwdziałają odbywaniu się plastycznych poślizgów wskutek tego, że rozkładają się one w różnych miejscach ziaren w kierunkach rozmieszczenia płaszczyzn poślizgu (patrz § 8); pod działaniem więc zewnętrznych sił odkształcających powstaje cały szereg drobnych wśródkrystalicznych pęknięć, które następnie dodając się tworzą już makroskopową rysę. Przedstawiona na tej fotografii rysa została nieco rozszerzona dzięki późniejszemu działaniu korozji.

Miejscowe przegrzania np. przy tłoczeniu dennicy pozostawiają głębokie ślady na budowie metalu. Np. mp 36 i 37, pow. 65*) przedstawiają budowę jednego i tego samego kawałka blachy kotłowej (blachy Nr. 9). Rys. 36 przedstawia budowę materiału z niezgniecionej części tego arkusza blachy z którego wytłoczono dennicę kotła Garbe. Jest to budowa drobnoziarnista z pewną ilością perlitu, odpowiadającą analizie chemicznej. Rys. 37*) przedstawia budowę części materiału tego samego arkusza blachy, która została poddana tłoczeniu. Budowa tej części jest gruboziarnistą widocznie rekrystalizowaną a oprócz tego brak tu perlitu; prawdopodobnie przy nagrzewaniu a może i przy miejscowym przegrzewaniu przed tłoczeniem wypalił się węgiel. Drugi kocioł Garbe posiadał materiał również nieco przegrzany, przypuszczenie to oparte jest na jego gruboziarnistości. Jednak tłoczenie odbywało się widocznie przy stosunkowo niskich temperaturach i to na tyle niskich, że w budowie materiału pozostały ślady obróbki mechanicznej na zimno (poniżej temperatur rekrystalizacji) w postaci linii poślizgu. Na rys. 38*) (pow. 65) można w poszczególnych ziarnach ferrytowych rozróżnić wiele takich śladów po odkształceniach w materiale poszczególnych ziaren poślizgowych, a rys. 39*) (pow. 360) przedstawia szczegół jednego z takich ziaren, w którym wskutek odkształceń, odbytych na zimno pozostały cztery ślady.

§ 23. Zlewki żelazne przeznaczone do wyrobu kotłów przechodzi podczas walcowania przez cały szereg złożonych procesów głównie o charakterze fizycznym. Należy przy tem mieć na uwadze dwie okoliczności: 1) że operacje tego rodzaju odbywają się przy stosunkowo wysokich temperaturach (patrz § 5), które jednakże nie powinny być wyższe od określonej granicy, i 2) że zakończenie procesu walcowania wiąże się z pewną temperaturą. Pierwsza okoliczność podyktowana jest niebezpieczeństwem przegrzania, a głównie

*) por. oddzielną planszę.

*) por. osobną planszę

Do art. Prof. FESZCZENKO-CZOPIWSKIEGO
JAKĄ POWINNA BYĆ OBRÓBKA TERMICZNA MATERJAŁU BLACH KOTŁOWYCH.



Rys. 26.



Rys. 27.



Rys. 28.



Rys. 29.

Do art. Prof. FESZCZENKO-CZOPIWSKIEGO
JAKĄ POWINNA BYĆ OBRÓBKĄ TERMICZNĄ MATERJAŁU BLACH KOTŁOWYCH.



Rys. 30.



Rys. 31.



Rys. 32.



Rys. 33.

Do art. Prof. FESZCZENKO-CZOPIWSKIEGO
JAKĄ POWINNA BYĆ OBRÓBKA TERMICZNA MATERJAŁU BLACH KOTŁOWYCH.



Rys. 34.



Rys. 35.



Rys. 36.



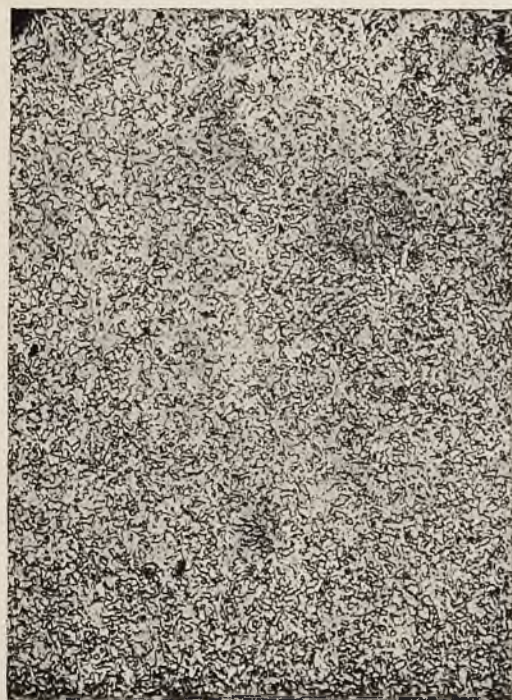
Rys. 37.



Rys. 38.



Rys. 39.



Rys. 41.



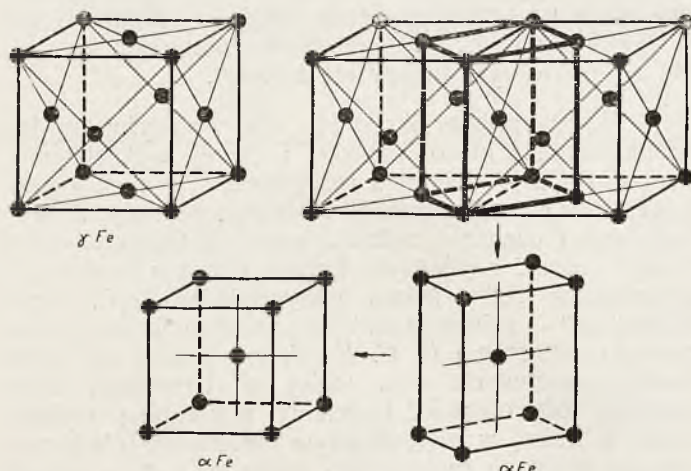
Rys. 42.

niebezpieczeństwem nadmiernego nasycenia materiału blachy przez tlenki, druga umotywowana jest zupełnie specjalną właściwością żelaza i jego stopów z węglem zmieniająca w określonej temperaturze układu krystalograficznego a wraz z tem i pewnych właściwości fizycznych. Zjawisko to odznacza się całkowitą zmianą wewnętrznej budowy materiału żelaznego w stanie stałym i nazywa się przemianą alotropową (patrz § 8), a temperatura, przy której to zjawisko się odbywa zwie się temperaturą przemiany alotropowej.

Na wysokość położenia temperatury alotropowej przemiany fazy „ γ ” — żelaza w fazę „ α ” — żelaza wpływa zawartość węgla w materiale. Węgiel obniża temperaturę tej przemiany z 906° (dla czystego żelaza) do 721° (dla stopu $Fe-C$ o zawartości 0,85% węgla). W ten sposób dla zwyczajnego żelaza kotłowego, które zawiera zwykle 0,1—0,15% węgla przemiana alotropowa „ $\gamma \rightleftharpoons \alpha$ ” odbywa się w temperaturze około $880^\circ \pm 10^\circ$. Zjawisko to przebiega z wydzielaniem (przy stygnięciu), lub z pochłanianiem (przy ogrzewaniu) ciepła (utajone ciepło przemiany alotropowej) i towarzyszy mu całkowita zmiana budowy.

Przy ochładzaniu t.j. przy przejściu fazy „ γ ” w fazę „ α ” należy tę przemianę budowy rozumieć jako ponowne wykryszalizowanie w stanie stałym nowej odmiennej fazy stałej „ α ” — żelaza z twardej fazy „ γ ” — żelaza. To ponowne wykryszalizowanie „ α ” — fazy należy rozumieć w ten sposób: gdy temperatura obniżając się dojdzie do poziomu przemiany alotropowej, wtedy w masie już nie stałego przy tej temperaturze „ γ ” — żelaza powstaje większa ilość nowych ośrodków krysztalizacji (zarodków) nowej fazy „ α ” — żelaza trwałego przy tej i przy niższych temperaturach. Elementy nowej fazy szybko rozrastają się około tych nowych ośrodków krysztalizacji kosztem materiału starej fazy i szybko obejmują całą masę metalu i wypełniają całą jego objętość.

E. C. Bain bardzo trafnie przedstawił mechanizm przemiany alotropowej żelaza „ $\gamma \rightarrow \alpha$ ” przy pomocy geometrycznych form przestrzennych, jak to pokazano na rys. 40^{*)}. Przestrzenny charakter tej prze-



Rys. 40.

miany polega w tem, że „ γ ” — żelazo z układu płaskocentrycznego sześciennego, którego elementy po-

^{*)} Parametr „ γ ” — żelaza = $3,592 \text{ \AA}$, a „ α ” — żelaza = $2,86 \text{ \AA}$. Atomy na chemiale E. C. Baina dla ułatwienia zrozumienia mechanizmu przemiany są silnie zmniejszone; porównaj z rysunkiem 5.

siadają 14 atomów, przechodzi w układ sześcienny, przestrzennie zcentrowany o nieco odmiennym od poprzedniego parametrze i zawierający 9 atomów w sześciennie elementarnym. Zachodzi przytem pewnego rodzaju „zagęszczenie” atomów, związane z nieznacznie przegrupowaniem atomów spowodowanym przejściem budowy z bardziej obszernej siatki przestrzennej „ γ ” — żelaza w bardziej sztywną siatkę przestrzenną „ α ” — żelaza.

Mechaniczna obróbka na gorąco (walcowanie) rozbija kryształy na coraz to większą ilość krystalicznych ułamków (krystalitów). Powinna być ona jednak zakończoną w temperaturze bardzo bliskiej do temperatury przemiany alotropowej. Jeśli zakończenie walcowania odbywa się w temperaturach znacznie wyższych od temperatury przemiany alotropowej, to sprzyja to powstawaniu gruboziarnistego agregatu. Zakończenie walcowania przy temperaturze niższej od temperatury przemiany alotropowej pozostawia w materiale zjawiska zgniotu i związane z nim powstawanie wewnętrznych naprężeń w ziarnach metalicznych i skłonność ich do następnej rekrysztalizacji (patrz § 9 i 10). Oba te krańcowe zjawiska źle oddziałują na właściwości mechaniczne gotowego wyrobu i z tego powodu są one niepożądane. Zakończenie walcowania ściśle w temperaturze przemiany alotropowej nie pozostawia czasu dla tworzenia się gruboziarnistości, a normalnie odbywająca się przemiana alotropowa pozwala na powstawanie większej liczby nienaprzężonych ziaren nowej fazy, stałej przy niskich temperaturach z większej ilości ułamków kryształów, na jakie materiał został rozbity podczas obróbki mechanicznej na gorąco.

Należy przytem podkreślić, że jakiegokolwiek byłoby warunki poprzedniej obróbki termicznej (np. przegrzanie, byleby nie związane z nadmierne mpoćnieniem tlenu!) lub mechanicznej (nawet wielkie stopnie zgniotu!), to podobne ogrzewanie danego materiału do temperatury nieco wyższej od temperatury przemiany alotropowej przywraca materiałowi jego pierwotny, nienaprzężony i zrównoważony stan, a zarazem i drobnoziarnistość. Taki proces obróbki termicznej, związany z przeprowadzeniem materiału w stan roztworu stałego „ γ ” i z następnym przekrysztalizowaniem, nazywa się wyżarzaniem, w praktyce, często wskutek konieczności technologicznych, idzie za niem powolne ochładzanie niejednokrotnie wraz z ochładzającym się piecem. Tego rodzaju proces wyżarzania zawsze doprowadza do pewnych nowych wyników zależnych od:

1) *wysokości ogrzania*: ogrzanie powinno być jedynie niewiele wyższe od temperatury przemian alotropowych. Praktycznie w tych wypadkach bierze się 20—30° wyżej temperatury przemian alotropowych. W wypadku przeciwnym w temperaturach nieco wyższych znowu spotykamy się ze zjawiskiem szybkiego wzrostu ziaren, t.j. ze zjawiskiem przegrzania. W praktyce budowa tego rodzaju dla stali miękkich i półmiękkich nosi nazwę budowy *Widmanstätten'a*.

2) *od czasu wytrzymania w temperaturze wyżarzania*, ponieważ krótkie wytrzymania doprowadza do niepełnego ujednorodnienia roztworu stałego węgla w „ γ ” — żelazie, a długie ogrzewanie w temperaturze wyżarzania powoduje nadmierne rozrastanie się kryształów „ γ ” — żelaza, co wywołuje skutki podobne do przegrzania.

3) od szybkości ogrzewania i 4) od szybkości ochładzania. Szybkie ogrzewanie doprowadza do nierównomiernego ogrzania poszczególnych części masy przedmiotu metalicznego i do związanego z tem nierównomiernego rozszerzania się środka i obwodu. Maksimum rozszerzania odpowiada początkowi przemiany allotropowej, następnie podczas dalszego biegu przemiany allotropowej zachodzi znaczne kurczenie (do 0,1% poprzedniej objętości) i następne ponowne rozszerzanie. Znakomity uczony francuski *H. Le Chatelier* łączy te zjawiska rozszerzania i kurczenia z procesem przejścia twardej fazy „ α ” — żelaza w roztwór stały „ γ ” — żelaza (przy ogrzewaniu) w sposób następujący: Gdy tylko osiągniemy punkt A_1 , t. j. w chwili, gdy eutektoid zacznie przechodzić w roztwór stały, następuje kurczenie około 0,1%. Jeśli zahartujemy próbkę w chwili rozpoczęcia kurczenia, to cała masa stalowego materiału znajdować się będzie w postaci perlitu + ferrytu; zahartowanie w chwili osiągnięcia maksimum zmiany objętości daje troostyt, obok którego znajdują się drobne ilości perlitu i martenzytu. Jeśli zahartujemy próbkę dopiero wtedy, gdy osiągnie ona swą zwykłą objętość, t. j. tą, którą posiadała w początku kurczenia, to otrzymamy czysty martenzyt. Tego rodzaju prawidłowość w zmianach strukturalnych składników daje wskazówki o charakterze praktycznym, a mianowicie: w jakich temperaturach należy przeprowadzać hartowanie w celu otrzymania czystego martenzytu.

Istota obróbki termicznej stopów $Fe-C$ polega na tem, że w określonym zakresie temperatur, w warunkach dostatecznie powolnego ochładzania bez przerwy odbywa się przemiana allotropowa „ γ ” \rightarrow „ α ”; jeśli ochładzanie będzie bardzo szybkie, to ta przemiana allotropowa może nie odbyć się i materiał pozostanie w zwykłych temperaturach w stanie roztworu stałego węgla w „ γ ” — żelazie. Taki nienormalny dla zwykłych gatunków stopów $Fe-C$ stan niestącej równowagi fizycznej odznacza się pewnymi odmiennymi właściwościami fizycznymi. Zahartowany materiał, w którym istnienie „ γ ” — Fe zostało w zwykłych temperaturach zatrzymane sztucznie zapomocą gwałtownego ochładzania, dąży do przyjęcia stanu bardziej stałej równowagi. Takim stanem o stałej równowadze w zwykłych temperaturach będzie stan odmiany allotropowej „ α ”, a zahartowany materiał żelazny („ γ ” — Fe) znajduje się w stanie naprężonego dążenia do przejścia w bardziej stałą fazę („ α ” — Fe). Faktycznemu dokonaniu tej przemiany stoi na przeszkodzie mała aktywność ruchów atomowych, ponieważ w zwykłych temperaturach przeciwdziałają swobodzie ruchów atomowych we wnętrzu siatki przestrzennej zaledwie wielkie opory sił spójności i atomy żelaza prawie nie są w stanie pokonać tych oporów ze strony międzyatomowych sił przyciągania pomimo swego znacznego i naturalnego dążenia do przejścia w układ „ α ”. Wyraźnie podkreślamy wyżej użyty termin „prawie nie są w stanie” a to dla tego, aby zwrócić uwagę czytelnika na istnienie ciągłości i nieprzerwalności takich fizyko-chemicznych procesów. Należy koniecznie rozumieć, że przemiana allotropowa „ γ ” \rightarrow „ α ” ma miejsce przy wszelkich warunkach ochładzania i przy wszelkich temperaturach. Jednakże proces ten odbywa się w czasie, a przy niskich temperaturach szybkość tej przemiany jest nadzwyczaj małą. W miarę zwiększania temperatury t. j.

w miarę zwiększania ruchliwości atomowej szybkość procesu zwiększa się coraz bardziej.

Jest rzeczą trudną otrzymać zahartowaną stal nawet wysoko węglistą w stanie austenitycznym, czyli w stanie roztworu stałego węgla w „ γ ” — żelazie trwałego w zwykłych temperaturach. W zwykłych warunkach hartowania otrzymujemy stal w stanie mieszanym t. j. austenit + martenzyt, to znaczy, że allotropowa przemiana „ γ ” \rightarrow „ α ” w większej części masy metalu już się odbyła nawet przy wielkiej szybkości ochładzania, t. j. w warunkach energicznego hartowania i jedynie stosunkowo niewielka część zahartowanej masy składa się z jeszcze nierozłożonego austenitu obok tak zwanego „świeżo hartowanego martenzytu”. Przemiana austenit \rightarrow martenzyt przy niskich temperaturach jest bardzo powolną. Świeżo hartowany martenzyt jest to faza przejściowa, znajdująca się w hartowanych stalach obok austenitu i składająca się z najdrobniejszych ziaren „ α ” — żelaza (ferrytu) o wymiarach około 50—100 atomowych średnic. W ziarnach świeżo hartowanego martenzytu węgiel jest utrzymywany w stanie rozproszenia atomowego: jest to roztwór pseudo-stały (*E. C. Bain, Z. Jeffries, R. Archer*). Węgiel dąży do tego, by wydzielić się w postaci Fe_3C tak z austenitu, jak i ze świeżo hartowanego martenzytu. To ostatnie dążenie jest podstawą procesów hartowania i odpuszczania. Z tego powodu już przy zwykłych temperaturach nie tylko z austenitu, lecz i ze świeżo hartowanego martenzytu zaczynają się wydzielać drobnutkie kryształki węgla żelaza (Fe_3C , cementytu), jednakże w coraz powolniejszym tempie z powodu utrudnionego przebiegu różnego rodzaju przegrupowań atomów przy niskich temperaturach. Ogólna przytem ilość kryształków „ α ” — żelaza zwiększa się. W zwykłym martenzytzie część węgla występuje już w postaci Fe_3C i jest rozsypaną w masie „ α ” — żelaza jako drobne kryształki nadkrytycznej wielkości. Jednak w temperaturach bliskich do temperatury przemian allotropowych najdrobniejsze cząsteczki Fe_3C mogą wydzielić się jednocześnie i niezależnie od biegu samej przemiany o ile tylko wystarczy czasu na przemieszczenie węgla i skupienie go w cząsteczki Fe_3C . W ten sposób pomijając tworzenie się martenzytu tworzy się troostyt.

Stąd wypływa określenie dla troostytu: są to: drobnoziarniste nieco większe i lepiej wykształcone kryształki „ α ” — żelaza z rozsypanymi w nich kryształkami Fe_3C nadkrytycznej wielkości. Wtedy z analogii sorbit oznaczać będzie to samo co troostyt i martenzyt, różnić się jednak będzie dalszym wzrostem kryształków „ α ” — żelaza i kryształków Fe_3C . Kryształki „ α ” — żelaza w sorbicie posiadają według obrazowego oznaczenia *E. C. Bain'a* nie więcej niż 1000 średnic atomowych, t. j. mniej niż 10^{-5} mm. Pod perlitem tedy rozumieć będziemy mieszaninę (eutektoid), w której w najściślejszym sąsiedztwie obok cząsteczek roztworu granicznego węgla w „ α ” — żelazie (ferrytu) znajdują się cząsteczki cementytu Fe_3C w stanie zupełnej równowagi. Jest to składnik charakteryzujący swą obecnością stan wyżarzony z następnym powolnym stygnięciem.

Austenit jest miękkim składnikiem, również i świeżo hartowany martenzyt jest dość miękki. Największą twardość wykazuje zwyczajny martenzyt w tak zwanem stadium krytycznego rozproszenia węgla w bar-

TABLICA 5.

Zmiany kruchości ulepszonego materiału blachy kotłowej w zależności od temperatury badania i stopnia poprzedniego ulepszenia; kgm/cm²

	Hartowany od t-ry 920° w wodzie (+18°), następnie odpuszczony w ciągu 30 min przy					
	700°	650°	600°	550°	500°	400°
	i powolnie studzony w piecu					
H	103,5	111	120	126	126	130,5
U; — 15	10,0] 9,5 n. z. 9,0] z.	10,6] 11,0 z. 11,4] n. z.	11,0] 10,6 n. z. 10,2] „	9,9] 11,1 z. 12,3] n. z.	7,2] 7,4 z. 7,6] „	7,3] 7,2 z. 7,1] „
0	9,7] 9,9 z. 10,2] n. z.	13,0] 12,3 „ 11,7] „	11,2] 11,2 „ 11,2] „	14,9] 13,0 „ 11,0] „	7,8] 7,9 „ 8,0] „	7,7] 7,6 „ 7,4] „
+ 18	12,5] 11,7 „ 10,9] „	12,2] 12,4 „ 12,5] „	11,0] 11,8 „ 12,6] „	10,9] 12,4 „ 13,8] „	12,2] 10,5 n. z. 8,8] z.	10,6] 9,5 „ 8,4] „
+ 100	11,2] 11,9 „ 12,5] „	12,7] 12,7 z. (10,6)] „	11,2] 12,1 „ 13,0] „	(10,4)] 13,2 z. 13,2] n. z.	11,8] 11,9 n. z. 11,9] „	12,3] 12,1 n. z. 11,9] „
+ 150	12,0] 11,7 „ 11,5] „	13,9] 13,6 n. z. 13,4] „	11,2] 12,1 „ 13,0] „	12,8] 11,9 „ 11,0] „	12,3] 11,0 „ 9,6] z.	12,5] 11,2 „ 9,9] z.
+ 200	12,3] 12,2 „ 12,2] „	12,7] 12,3 „ 12,0] „	13,7] 12,4 „ 11,2] „	9,5] 9,5 „ 9,5] z.	9,8] 10,3 „ 10,7] n. z.	12,6] 10,5 n. z. 8,5] z.

	Hartowany od t-ry 920° w wodzie (+18°), następnie odpuszczony w ciągu 30 min przy					
	700°	650°	600°	500°	400°	700°
	i szybko ochłodzony [hartowany w wodzie (+18°)]					ochłodzony na powietrzu
H	130,5	126	142,5	136	130,5	126
U; — 15	11,2] 11,2 n. z. 11,3] „	10,0] 10,3 n. z. 10,6] „	10,4] 11,3 z. 12,3] n. z.	11,1] 10,9 n. z. 10,8] „	8,7] 9,7 z. 10,6] „	10,5] 10,5 n. z. ?] „
0	13,0] 13,0 „ 12,9] „	11,4] 12,4 „ 13,4] „	11,6] 12,6 „ 12,7] „	11,3] 10,9 „ 10,4] „	10,0] 11,2 „ 12,4] n. z.	12,7] 12,7 „ (8,3)] z.
+ 18	14,4] 13,3 „ 12,2] „	12,7] 12,6 „ 12,5] „	11,9] 12,5 „ 13,2] „	11,5] 11,5 „ ?] „	11,0] 11,5 „ 11,9] „	14,4] 14,0 n. z. 13,6] „
+ 100	14,7] 14,1 „ 13,5] „	12,2] 12,6 „ 13,0] „	11,7] 11,7 „ (10,3)] z.	12,0] 11,4 „ 10,8] „	(9,2)] 11,5 z. 11,5] n. z.	15,5] 14,0 „ 12,5] „
+ 150	(12,6)] 13,8 „ 13,8] „	12,5] 11,9 „ 11,3] „	13,1] 12,7 n. z. 12,4] „	9,9] 11,0 z. 12,0] n. z.	10,8] 11,1 „ (11,4)] „	10,6] 13,7 „ 16,7] „
+ 200	14,9] 15,3 „ 15,8] „	11,5] 11,2 „ 10,8] z.	12,7] 12,2 „ 11,6] „	10,8] 10,6 „ 10,3] z.	10,9] 10,2 „ 9,4] z.	14,8] 13,2 „ 11,7] „

	Hartowany od t-ry 920° w wodzie (+ 18°)					Hartowany od t-ry 920° we wrzącej wodzie (+ 100°)		
	n a s t ę p n i e o d p u s z c z o n y w c i ą g u 3 0 m i n u t p r z y							
	650°	700°		700°	650°	700°	700°	
	szybko ochłodzony na powietrzu	szybko ochłodzony w wodzie (+18°) i powtórnie odpuszczony w ciągu 30 min. przy t-rze				powolnie ochłodzony w piecu	szybko ochłodzony w wodzie wrzącej	
		400°	300°		400°			
p o c z e m p o w o l n i e s t u d z o n y w p i e c u								
H	130	111		115,5	120	115,5	120,0	
U:								
— 15	11,1 } 10,9 n. z 10,7 } „	11,1 } 11,3 n. z 11,5 } „	10,5 } 10,7 n. z 11,0 } „	9,9 } 10,5 z 11,0 } n. z	9,9 } 8,9 z 8,4 } „	9,5 } 8,6 z 7,8 } „		
0	12,4 } 11,5 „ 10,7 } „	13,4 } 13,3 „ 13,3 } „	13,0 } 13,6 „ 14,2 } „	11,4 } 11,4 „ 11,3 } „	12,1 } 12,1 n. z 12,2 } „	11,9 } 12,1 n. z 12,2 } „		
+ 18	12,6 } 12,6 „ (10,4) } z	13,3 } 14,2 „ 15,0 } „	14,4 } 13,5 „ 12,6 } „	13,1 } 13,0 „ 12,9 } „	14,7 } 14,9 „ 15,1 } „	10,3 } 12,2 „ 14,1 } „		
+ 100	13,6 } 13,3 n. z 12,9 } „	15,1 } 15,1 „ (12,5) } „	15,2 } 15,0 „ 14,9 } „	12,3 } 12,3 „ 12,3 } „	11,4 } 10,9 „ 10,4 } „	12,5 } 12,5 „ (11,1) } „		
+ 150	11,3 } 12,5 „ 13,7 } „	15,4 } 14,5 „ 13,5 } „	15,0 } 13,6 „ 11,9 } „	12,2 } 12,4 „ 12,6 } „	9,6 } 10,3 r 10,9 } n. z	10,6 } 10,6 (?) „ 10,7 } „		
+ 200	12,7 } 11,5 „ 10,3 } „	12,1 } 12,0 „ 11,8 } „	12,3 } 12,6 „ 12,9 } „	12,0 } 11,9 „ 11,8 } „	10,5 } 10,8 „ 11,1 } „	14,4 } 13,3 „ 12,2 } „		

	Hartowany od t-ry 920° w wodzie wrzącej (+ 100°)		Hartowany od t-ry 920° w oleju rzepakowym			
	i nie odpuszczony	odpuszczony w ciągu 30 min. przy 700° ponownie hartow. we wrzącej wodzie i w ciągu 300 min. powtórnie odpuszcz. przy 400° i pow. ochł. wraz z piecem	i nie odpuszczony	odpuszczony w ciągu 30 min. przy 700°		
				i powolnie ochłodzony w piecu	i szybko ochłodzony w oleju (+ 18°)	i szybko ochłodzony w oleju, poczem powtórnie odpuszcz. w ciągu 30 min. przy 400° i powolnie ochłodz. w piecu
H	130,5	111,0	130,5	115,5	130,5	115,5
U:						
— 15	9,0 } 9,5 z 10,0 } n. z	(7,2) } 9,1 z 9,1 } „	9,7 } 10,1 z 10,6 } n. z	11,0 } 12,4 n. z 13,8 } „	7,3 } 8,1 z 8,9 } „	11,4 } 11,8 n. z. 12,2 } „
0	10,5 } 11,0 „ 11,5 } „	9,2 } 10,4 „ 10,4 } n. z	13,1 } 11,1 „ 9,2 } z	14,0 } ? „ (7,0) } „	8,7 } 8,6 „ 8,4 } „	(10,2) } 12,5 „ 12,5 } „
+ 18	12,1 } 11,1 „ 10,1 } „	10,9 } 12,5 „ 14,1 } „	12,6 } 11,5 n. z 10,4 } „	13,0 } 12,9 „ 12,9 } „	11,1 } 11,0 n. z 10,8 } „	14,6 } 14,6 „ (11,6) } „
+ 100	12,1 } 11,5 „ 10,9 } „	15,5 } 12,6 „ 13,7 } „	12,2 } 12,3 „ 12,3 } „	10,2 } ? „ 10,0 } „	12,9 } 12,3 „ 11,7 } „	11,5 } 15,0 „ 18,5 } „
+ 150	9,6 } 9,7 z 9,7 } n. z	12,3 } 12,2 „ 12,0 } „	10,1 } 9,9 „ 9,6 } z	12,1 } 12,1 „ (10,8) } „	12,2 } 11,0 „ 10,8 } „	15,2 } 13,9 „ 12,5 } „
+ 200	9,2 } 9,7 z 9,4 } „	16,5 } 15,9 „ 15,3 } „	8,9 } 8,9 „ 8,9 } „	11,2 } 11,4 „ 11,5 } „	10,2 } 10,4 „ 10,6 } „	11,6 } 11,2 „ 10,7 } „

TABLICA 6.

Porównanie wyników ulepszania blach Nr. 5, 8 i 9.

		Q	R	A	C	U
Blacha N 5 w stanie	surowym	23,8	36,5	28,8	65,2	8,3
	wyżarzonym	22,9	33,4	32,5	65,4	6,9
	ulepszonym	26,8	37,4	31,9	72,5	14,6
„ N 8 „	surowym	25,7	38,7	29,0	62,0	7,3
	wyżarzonym	24,6	38,0	36,0	64,0	8,1
	ulepszonym	27,0	39,2	33,0	70,0	17,9
„ N 9 „	surowym	22,4	35,7	27,0	61,0	11,4
	wyżarzonym	21,6	33,4	32,0	66,0	9,7
	ulepszonym	28,4	38,8	32,0	66,0	11,1

dzo drobnoziarnistej budowie „ α “ żelaza*). Twardość troostytu, a względnie i sorbitu jest mniejsza; są to składniki przejściowe od hartowanej budowy martenzytycznej o największej twardości i wytrzymałości a stosunkowo najmniej z możliwych dla danego materiału ciągliwości i odporności na uderzenie do budowy wyżarzanej t.j. perlit-ferrytycznej, która posiada najmniejszą z możliwych dla danego materiału twardość i wytrzymałość, a największą ciągliwość i odporność na uderzenie.

Powstaje teraz zagadnienie, jakim operacjom termicznym należy poddać dany materiał, aby z jednej strony podnieść nieco jego wytrzymałość, a z drugiej aby ciągliwość i odporność na uderzenie pozostawały nie mniejsze niż w materiale wyżarzonym. Rozwiązanie tego zagadnienia znajdujemy w wynikach otrzymanych przy pomocy „ulepszania“.

Proces ulepszania należy do metod tak zwanej obróbki termicznej i składa się z dwóch względnie z trzech odrębnych procesów wykonywanych kolejno jeden po drugim na jednym i tym samym przedmiocie, a mianowicie: 1) Nagrzewanie próbki do temperatury hartowania tj. praktycznie do temperatury mniej więcej o 30° wyższej od temperatury przemiany allotropowej „ α “ \rightarrow „ γ “ i ogrzewanie w tej temperaturze przez pewien czas w celu ujednorodnienia roztworu stałego dzięki odbywającej się w tym czasie dyfuzji (wyżarzanie), a następnie hartowanie w letniej wodzie, albo lepiej w oliwie. 2) Odpuszczanie. Temperatura odpuszczania może być nieco wyższą lub nieco niższą w każdym jednak wypadku niższą od temperatury A_1 . Dla żelaza kotłowego o zawartości węgla około 0,10% ustaliliśmy temperaturę A_1 —725°, a z tego powodu temperatura odpuszczania musi być około 700 — 650°. W tych warunkach odpuszczania uprzednio zahartowany materiał otrzymuje maksimum A , C i U , a zarazem zachowuje nieco zwiększone R i H . Czas trwania odpuszczania może wynosić około 30 min., licząc od chwili gdy temperatura pieca dojdzie do temperatury odpuszczania, a to w celu pewniejszego udzielenia próbce żądanej temperatury; następnie odbywa się ochładzanie materiału do temperatur pokojowych.

Zachodzi pytanie, jakim powinno być to ochładzanie? Powolne ochładzanie odpuszczanych próbek pozostawia w metalu kruchość wyżarzania, szybkie ochładzanie wywołuje powstanie w metalu naprężeń

wewnętrznych. W celu uniknięcia obu niepożądanych zjawisk opracowaliśmy kombinowany sposób ochładzania: szybkie ochładzanie próbek od temperatury odpuszczania (650 — 700°) w letniej lub nieco cieplej wodzie i powtórne słabe odpuszczanie przy temperaturze 400° (20—30 min.) z następnym powolnym ochładzaniem od tej temperatury aż do temperatur pokojowych (w piecu). W ten sposób przechodząc zapomocą szybkiego ochładzania zakres temperatur rekrytalizacji (700—400°) unikamy „kruchości wyżarzania“ (patrz § 19), a powtórne lekkie odpuszczenie przy 400° wyrównuje powstałe podczas szybkiego ochładzania miejscowe wewnętrzne naprężenia. Tego rodzaju kombinowany sposób ulepszania zwiększa nieco granicę sprężystości, wytrzymałość, a wydłużenie — mało różni się od wydłużenia w materiale wyżarzonym, przewężenie wzrasta nieco powyżej tego, jakie otrzymujemy w materiale wyżarzonym. Złom ulepszanego w ten sposób materiału jest bardzo drobnoziarnisty (porcelanowy), a co najważniejsze, kruchość jest najmniejszą ze wszystkich możliwych dla danego materiału o danym składzie chemicznym. Zakres kruchości przesuwają się przy tem do najniższych temperatur. Mikrostruktura ulepszanej blachy Nr. 9 przedstawiona na mikrografii (rys. 46*), (pow. 60), a mikrografia rys. 42*) (pow. 60) przedstawia miejsce w ulepszanej blasce Nr. 5, pełne żużli. Wyniki różnych sposobów ulepszania mówią same za siebie, jak, to wynika z tablicy 5, w której umieszczono wyniki licznych badań kruchości ulepszanego materiału blachy kotłowej Nr. 5, którą hartowano od temperatury 920° w 1) wodzie +18°, 2) w wodzie +100° i w 3) oleju rzepakowym +10°, następnie odpuszczano przez 30 minut przy temperaturach 700°, 650°, 600°, 550°, 500°, i 400°, a szybkość ochładzania po odpuszczeniu zmieniano w różny sposób, jak to zaznaczono w tablicy w celu ustalenia warunków optimum odporności ulepszanego materiału na uderzenia.

Dla ułatwienia czytelnikowi decyzji połączyliśmy główne wyniki z tablic 1, 2 i 5 w jedną dodatkową 7, a na podstawie tablic 4 i 6 ułożono tablicę 8. Z dwóch tych ostatnich tablic (tablic 7 i 8) wynika, że skutki kombinowanego ulepszania są następujące: 1) Podnosi się (wprawdzie stosunkowo nieznacznie!) granica plastyczności (a wraz z nią wszystkie właściwości sprężyste) i wytrzymałość, 2) wydłużenie pozostaje na poziomie wartości dla materiału wyżarzonego, przewężanie zwiększa się nieco. 3) znacznie zwiększa się od-

*) Szczegóły patrz mój artykuł: Samoulepszenie podczas starzenia — Przegląd Górniczo-Hutniczy 1926, str. 44 i 51.

*) Por. osobną planszę

TABLICA 7.

Porównanie wyników ulepszania blachy № 5.

	Stan surowy	Stan wyżarzony w ciągu 2 godz. przy 920° z następującym powolnym chłodzeniem razem z piecem	Stan ulepszony Hartowanie od 920° w wodzie (+18°); następnie odpuszczanie 1/2 godz. przy								Stan ulepszony Hart. w oleju odpuszcz. 1/2 g. przy	
			650° i następnie powolne chłodzenie razem z piecem	700°	650°	700°	650°	700°	700°	650°	700° i następnie powolne ochłodzenie razem z piecem	700° i następne szybkie ochł. w oleju i powtór. odp. 400° i pow. 11.
				i następnie szybkie chłodzenie w wodzie (+18°)		i następnie szybkie chłodzenie w powietrzu		i następnie szybkie chłodzenie w wodzie (+18) poczem powtórne odpuszczenie przy				
								400°	300°	400°		
								i powolne ochładzanie razem z piecem				
U:												
—15	2,3	2,5	11,0	11,2	10,3	10,5	10,9	11,3	10,7	10,5	12,4	11,8
0	5,7	4,3	12,3	13,0	12,4	12,7	11,5	13,3	13,6	11,4	?	12,5
+18	8,3	6,9	12,4	13,3	12,6	13,6	12,6	14,2	13,5	13,0	12,9	14,6
+100	11,9	12,2	12,7	13,5	12,6	15,5	13,3	15,1	15,0	12,3	?	15,0
+150	12,0	12,0	13,6	13,8	11,9	13,6	12,5	14,5	13,6	12,4	11,5	13,9
+200	10,4	10,4	12,3	15,3	11,2	13,2	11,5	12,0	12,6	11,9	11,4	11,2
H	115,4	103,5	111	130,5	126	126	130	111	115,5	120,0	115,5	115,5
Q	23,8	22,9	30,6	30,5	30,5	25,3	28,6	25,9	22,6	26,9	27,7	26,8
R	36,5	33,4	38,9	42,3	43,6	36,8	39,3	38,8	37,5	39,1	37,5	37,3
A	28,8	32,5	27,1	17,4?	22,5	25,0	28,6	20,8	23,3	26,7	29,0	31,9
C	65,2	65,4	72,5	69	70,4	68,5	72,6	70,5	71,3	71,7	72,5	72,5

TABLICA 8

Wpływ ulepszania na odporność materiału blach kotłowych w t-ach od — 15 do + 200° C.

Zwiększenie w %

Blacha T-ra	№ 1	№ 6	№ 5	№ 9	№ 8	№ 7	Prawdopodobne średnie ulepszenie
— 15	+ 15	+ 294	+ 391	+ 500	+ 725	+ 840	+ 550
0	+ 10	+ 34	+ 135	+ 50	+ 224	+ 750	+ 240
+ 18	+ 40	+ 26	+ 71	—	+ 145	+ 50	+ 60
+ 100	+ 50	+ 10	+ 27	+ 8	+ 33	+ 23	+ 20
+ 150	+ 51	+ 42	+ 21	—	+ 16	+ 26	+ 21
+ 200	+ 52	+ 38	+ 15	+ 10	+ 17	+ 31	+ 22

porność na uderzenie w temperaturach zwyczajnych, a cały kruchy zakres przesuwają się na lewo w stronę niskich temperatur.

Nie jest ustalone w jakim okresie zjawiają się pęknięcia w materiale kotła parowego, czy w czasie jego pracy, tj. kiedy materiał kotła parowego przebywa w wyższych temperaturach, czy w czasie jego oziębiania (względnie ogrzewania), lub nawet w czasie przebywania kotła w spokoju w zwykłych temperatu-

rach, pod wpływem np. nagłych uderzeń. Teoretycznie należy spodziewać się, że raczej w ostatnich dwóch wypadkach, tj. w czasie przebywania materiału blach kotłowych w zakresie kruchości w niskich temperaturach. A wtedy staje się niewątpliwą korzyść ulepszania materiału blach kotłowych zapomocą obróbki termicznej ze względu na uodpornienie go przeciw pęknięciom, ze względu na przedłużenie jego życia i podniesienie stopnia bezpieczeństwa.

BIBLIOGRAFJA

(Opracowana przez Księgarnię Techniczną w Warszawie, Fredry 2)

G. A. BURRELL. The Recovery of Gasoline from Natural Gas. NY
R. H. McKEE. Shale Oil. NY
E. R. LILLEY. The Oil Industry. Production, Transportation, Resources, Refining, Marketing. London.
A. NECHUTA. Application de l'électricité dans l'industrie du pétrole. Bucarest.
REDWOOD'S. Petroleum. 5th Ed. London.

doł. 7.
doł. 4.50
3 Is. 6 d.
63 s.

R. REDWOOD and A. EASTLAKE. The Petroleum Technologists Pocket Book
J. REY. Les propriétés physiques des vapeurs de pétrole et les lois de leur écoulement. Paris.
L. STEINER. Tiefbohrwesen, Forderverfahren und Elektrotechnik in der Erdölindustrie. Berlin.
G. W. STOCKING. Oil Industry and the Competitive System. A Study in Waste. NY.

15 s.
30 fcs.
27 M.
doł. 3.50